

ΜΕΤΕΩΡΟΛΟΓΙΑ.—Τὰ ὕψη τῶν θαλασσίων κυμάτων τοῦ Ἰονίου, ὑπὸ Σιν-
λιανοῦ X. Γκίρη*. Ἀνεκοινώθη ὑπὸ τοῦ Ἀκαδημαϊκοῦ κ. Ἡλία Γ.
Μαριολοπούλου.

1. ΕΙΣΑΓΩΓΗ ΚΛΙ ΥΛΙΚΟΝ

Ο διάλογος μεταξὺ ἀνέμου καὶ θαλάσσης ἔχει ὡς ἀποτέλεσμα τὴν διατάφα-
ξιν τῆς ἐπιφανείας, δηλαδὴ τὴν ἐμφάνισιν τῶν κυμάτων. Λόγῳ τοῦ πολυπλόκου
τῆς μορφῆς, τῆς ποικιλίας τῶν σχημάτων, ὡς καὶ τῶν ἄλλων χαρακτηριστικῶν
τῶν κυμάτων, δὲν ἔχει ἐπιτευχθῇ ἀκόμη ἡ πλήρης ἔξήγησις αὐτῶν. Εἶναι ἄξιον
θαυμασμοῦ τὸ γεγονός ὅτι καὶ πάλιν οἱ ἀρχαῖοι Ἕλληνες ἔθεσαν ὁρθῶς τὸ πρό-
βλημα. Οὕτως δὲ Ἀριστοτέλης (προβλ. ΚΓ, 28) γράφει: «Διατί τὰ κύματα πρότε-
ρον φοιτᾶ ἐνίστε τῶν ἀνέμων; ἢ διότι καὶ τελευτᾶ ὑστεροῦν;» Ὁ Ἡρόδοτος
(VIII, 118) ἔξι ἄλλου, ὡς ἴστορικὸς ἄλλα καὶ ὡς ἐκφραστὴς τῆς τότε ἐπιστημονι-
κῆς ἀντιλήψεως ἐπὶ τῆς αἰτίας τῆς θαλασσοταραχῆς, ἥτις ἔθεσεν εἰς κίνδυνον τὴν
ζωὴν τοῦ Ξέρξη κατὰ τὸν πλοῦν πρὸς τὴν Ἀσίαν ἀπὸ τὰς δύο θαλασσὰς τοῦ Στρυμῶνος,
ἀπέδωσεν ταύτην ὁρθῶς, εἰς δρμητικὸν ἐκ τοῦ Στρυμῶνος πνεύσαντα ἄνεμον,
διότι τὸν ἔχαρακτήρισεν ὡς «Στρυμονίην ὑπολαβεῖν μέγαν καὶ κυματίην».

Εἰς τὴν σύγχρονον ἐποχήν, οἱ σφοδροὶ τοπικοὶ ἄνεμοι τῶν ἀκτῶν τῆς Ἑλ-
λάδος, ἐκ Βορρᾶ συνήθως εἰς θερμοὺς κόλπους ἐνσκήπτοντες, εἶναι λίαν ἐπικίν-
δυνοι διὰ τὴν ναυτιλίαν [1].

Ἐξ ὅλων τῶν χαρακτηριστικῶν στοιχείων τῶν κυμάτων, τὸ ὕψος ἔνέχει
μεγίστην σημασίαν, διότι λαμβάνεται σοβαρῶς ὑπὸ ὅψιν εἰς τὴν κατασκευὴν λιμε-
νικῶν ἔργων καὶ τὸ δποῖον, ὡς γνωστόν, αὐξάνει, αὐξανομένης τῆς ταχύτητος
τοῦ ἀνέμου.

Τὸ ὕψος ὅμως ἔξαρταται ἐκ τῆς ἐκτάσεως ἐπενεργείας τοῦ ἀνέμου (Fetch),
τῆς διαρκείας, ὡς καὶ τῆς προγενεστέρας καταστάσεως τῆς θαλάσσης. Ἐκ τῶν δύο
πρώτων ἐνδοσυσχετίζομένων παραγόντων, δεῖται δύναται νὰ εἶναι
περιωρισμένος [2].

Σκοπὸς τῆς παρούσης ἀνακοινώσεως εἶναι ἡ μελέτη τῶν θαλασσίων κυμά-
των τοῦ Ἰονίου ἀπὸ πλευρᾶς ὕψους καὶ δὴ συναρτήσει τοῦ ἀνέμου.

Ἡ ἔξεταζομένη θαλασσία περιοχὴ περιλαμβάνεται περίπου μεταξὺ τῶν
παραλλήλων 36° καὶ 40° Β πλάτους καὶ τῶν μεσημβρινῶν 19° καὶ $22^{\circ} 30'$ Α
μῆκους [3]. Διὰ τὸν ὡς ἄνω σκοπόν, ἐλήγει περισσότερον ὑπὸ ὅψιν ἄπασαι αἱ γενόμεναι

* S. H. GUINIS, *The height of Ionian Sea's waves.*

παρατηρήσεις εἰς τοὺς Σταθμοὺς Φάρων τῆς Ὑδρογραφικῆς Ὑπηρεσίας τοῦ Ἀρχηγείου τοῦ Πολεμικοῦ Ναυτικοῦ, κατὰ τὴν κοινὴν περίοδον 1963 - 71.

Αἱ ἀνεμολογικαὶ, ως καὶ αἱ ἐπὶ τοῦ ὑψους τῶν κυμάτων παρατηρήσεις, ἐγένοντο συγχρόνως τῷς ἡμερησίως, ἥτοι τὴν 8ῃ, 14ῃ καὶ 20ῃ ὥραν, διὰ προσωπικῆς ἐκτιμήσεως τῶν παρατηρητῶν, οἵ διποῖοι ὅμως λόγῳ τῆς ναυτικῆς αὐτῶν ἴδιότητος, δὲν σφάλλουν εἰς τὴν πλειονότητα τῶν περιπτώσεων.

Ὄς οὐκέτι πάντας κατὰ τὴν ὥραν τῆς παρατηρήσεως οἵ παρατηρηταὶ καταγράφουν τὸ κυριαρχοῦν ὑψος, ἥτοι τὸ σημαντικὸν ὑψος $H_{1/8}$. Τὸ ἐν λόγῳ ὑψος ὃρίζεται ως ἡ μέση τιμὴ τῶν ὑψῶν τοῦ $\frac{1}{3}$ τῶν παρατηρηθέντων κυμάτων, ἄτινα παρουσιάζουν τὸ μέγιστον ὑψος ἐντὸς τῆς τυπικῆς περιόδου τῶν 10 λεπτῶν [2].

2. ΠΡΟΓΝΩΣΙΣ ΤΟΥ ΥΨΟΥΣ ΤΩΝ ΚΥΜΑΤΩΝ

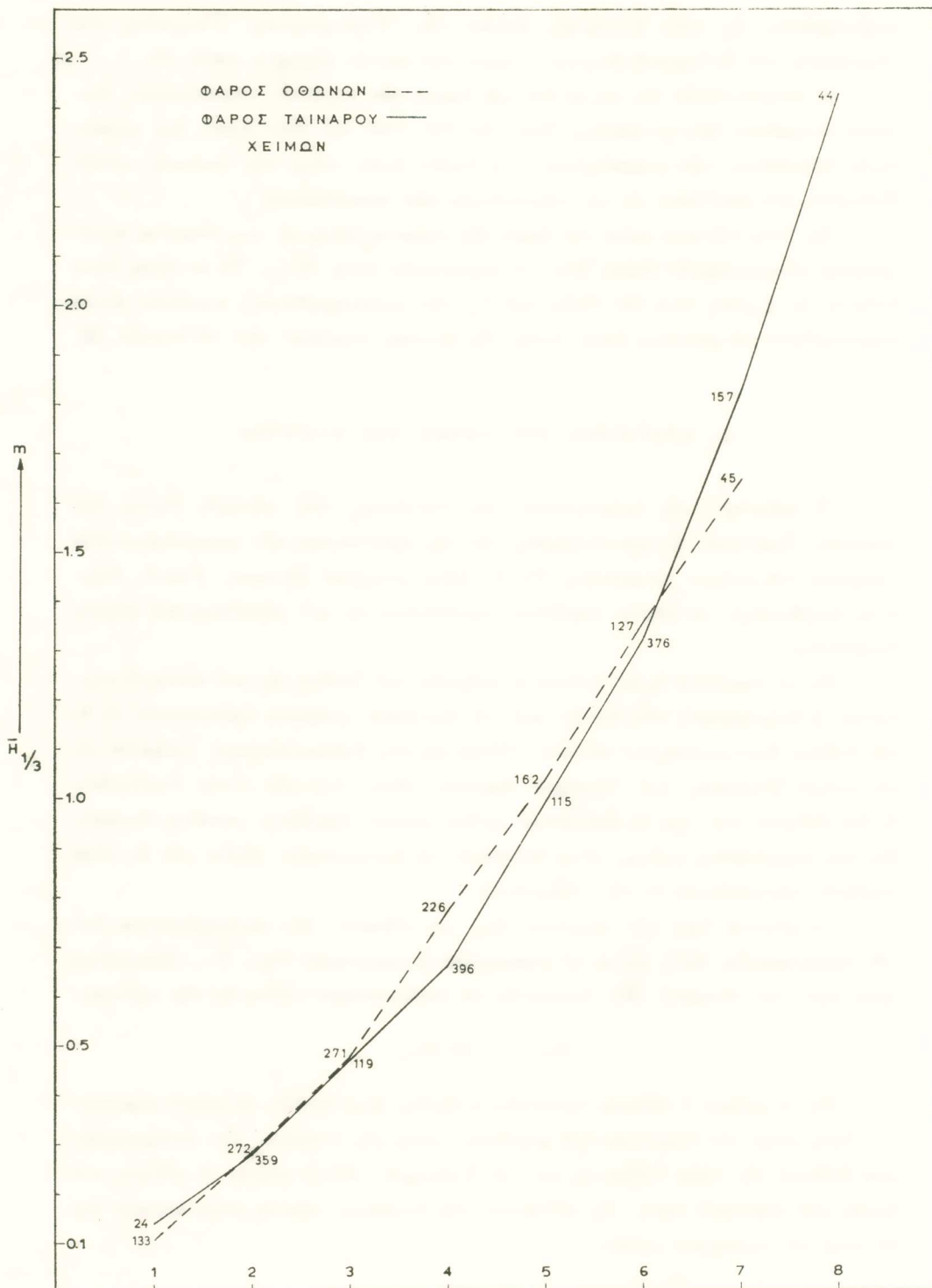
Ἡ πρόγνωσις τῆς καταστάσεως τῆς θαλάσσης, ἀπὸ πλευρᾶς ὑψους τῶν κυμάτων, ἔξαρταται ως προανεφέρθη, ἐκ τῆς προγνώσεως τῶν χαρακτηριστικῶν στοιχείων τοῦ ἀνέμου ἐπιφανείας. Τὰ ἐν λόγῳ στοιχεῖα (ἐντασις, Fetch, διάρκεια, διεύθυνσις), μὲ ἵκανὴν ἀκρίβειαν προκύπτουν ἐκ τοῦ προγνωστικοῦ χάρτου ἐπιφανείας.

Εἰς τὰ παράκτια ὅμως θαλάσσια τμήματα τοῦ Ἰονίου, ως καὶ ἀλλαχοῦ συμβαίνει, ἡ διαμόρφωσις τῶν ἀκτῶν καὶ τὰ θαλάσσια φεύγοντα τροποποιοῦν τὰ ἐκ τοῦ ἀνέμου δημιουργούμενα κύματα. Οὕτω μεγάλη θαλασσοταραχὴ ἐγείρεται εἰς τὸν μεταξὺ Κερκύρας καὶ Ἡπείρου δίαυλον, ἵδιως ὑπὸ τὴν πνοὴν θυελλωδῶν Ν.ΝΔ ἀνέμων, ὅτε καὶ τὸ θαλάσσιον φεῦγον λαμβάνει μεγάλην ἐντασιν. Εἰς τὰς περιπτώσεις ταύτας, εἶναι δύσκολον νὰ διαπλεύσουν πλοῖα τὸν ἐν λόγῳ πορθμόν, προερχόμενα ἐκ τῆς Ἀδριατικῆς.

Τὰ μέγιστα ὑψη τῶν κυμάτων H_m , ως εἴδομεν, δὲν καταγράφονται ὑπὸ τῶν παρατηρητῶν, ἀλλὰ μόνον τὸ κυριαρχοῦν ἢ σημαντικὸν ὑψος $H_{1/8}$. Συμφώνως ὅμως πρὸς τὴν θεωρίαν [2], δυνάμεθα νὰ ὑπολογίσωμεν ταῦτα ἐκ τῆς σχέσεως:

$$H_m = 1,60 H_{1/8}$$

Εἰς τὸ σχῆμα 1, δίδεται γραφικῶς ἡ σχέσις, ἥτις συνδέει τὸ μέσον σημαντικὸν ὑψος κατὰ τὴν διάρκειαν τοῦ χειμῶνος, μετὰ τῆς ἐντάσεως τῶν ἐπικρατεστέρων ἀνέμων εἰς τοὺς Ὀθωνοὺς καὶ τὸ Ταίναρον. Εἶναι σαφὴς ἡ αὐξησίς τοῦ ὑψους τῶν κυμάτων μετὰ τῆς αὐξήσεως τῆς ἐντάσεως τῶν ἐν λόγῳ ἀνέμων καὶ δὴ κατὰ μὴ γραμμικὸν τρόπον.



Σχ. 1. Τὸ μέσον σημαντικὸν ὕψος κύματος συναρτήσει τῆς ἐντάσεως (εἰς Beaufort) τῶν ἐπικρατεστέρων (B, N, ΒΔ, ΝΔ) ἀνέμων μετὰ τοῦ ἀριθμοῦ τῶν περιπτώσεων.

Η διασπορὰ τῶν τιμῶν περὶ τὴν μέσην τιμὴν τοῦ ὄψους διὰ κάθε βαθμίδα τῆς κλίμακος τοῦ Beaufort εἶναι μικρὰ διὰ τὸν ἀσθενεῖς (1 - 2 Beauf.) καὶ δὲ λίγον μεγαλυτέρα διὰ τὸν μετρίους (3 - 5 Beauf.) καὶ τὸν ἵσχυροὺς καὶ ἄνω ἀνέμους (≥ 6 Beauf.). Τὸ γεγονός τοῦτο διείλεται εἰς τὴν ἐπίδρασιν τῆς διευθύνσεως τοῦ ἀνέμου ἐπὶ τῆς διαμορφώσεως τοῦ ὄψους τῶν κυμάτων. Οὕτως εἰς τὸν ὄθωνὸς π. χ. μὲ νηπονέοντα ΒΔ ἡ νότιον ἀνέμον τὸ μέσον ὄψος φθάνει τὸ 0,10 τοῦ μέτρου καὶ μὲ ΝΔ τοιοῦτον τὸ 0,16 τοῦ μέτρου, ἥτοι διαφορὰ 0,06 m. Μὲ λαμπρὸν ὅμως ἀνέμον (\geq Beaufort) ἡ διαφορὰ τοῦ μέσου ὄψους τοῦ κύματος μεταξὺ Β καὶ ΝΔ ἀνέμου ἀνέρχεται εἰς 0,37 τοῦ μέτρου (πίν. 1). Η ὑπεροχὴ ἔξι ἀλλού τοῦ μέσου ὄψους εἰς τὸν ὄθωνὸς ἔναντι τοῦ Ταινάρου, πλὴν τῶν περιπτώσεων «ἀποθαλασσίας» διὰ τοῦ στενοῦ τοῦ Ὄτραντο ἐκ τῆς Αδριατικῆς, διείλεται καὶ εἰς τὴν μεγαλυτέραν συχνότητα τῶν Νοτίων καὶ ΝΔ ἀνέμων εἰς τὸν ὄθωνὸς ἐκ τῆς τοιαύτης τῶν Βορείων.

Π Ι Ν Α Ζ 1

Μέσα σημαντικά ὄψη εἰς μέτρα ἀνά βαθμίδα Beaufort.

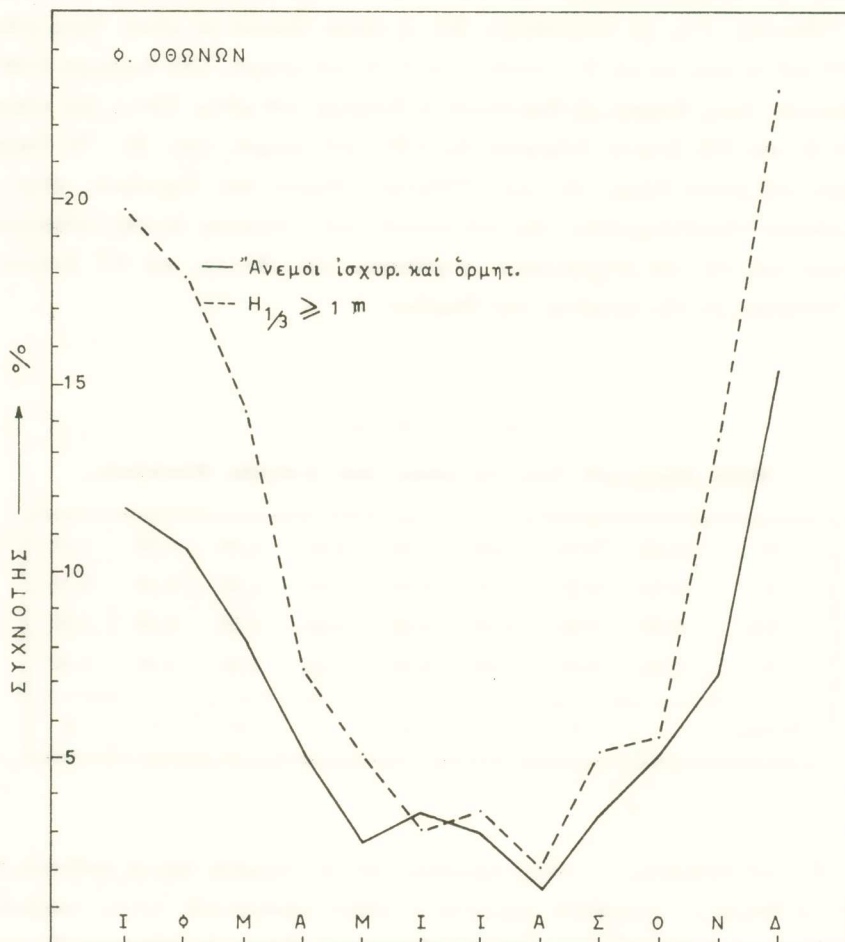
B	0,14	0,31	0,46	0,64	0,87	1,10	1,36	1,50
N	0,10	0,27	0,46	0,79	1,11	1,36	1,49	2,10
ΒΔ	0,10	0,28	0,45	0,68	0,98	1,50	1,73	1,87
ΝΔ	0,16	0,36	0,63	0,95	1,24	1,56	1,98	2,30
Βαθμίς	1	2	3	4	5	6	7	8

Ἐκ τοῦ σχήματος 1 ἐπίσης προκύπτει ὅτι αἱ νηνεμίαι καὶ οἱ ἀσθενεῖς ἀνεμοί (0 - 2 Beauf.), προκαλοῦν κυματισμὸν μέσου σημαντικοῦ ὄψους, μικροτέρου ἀπὸ 0,30 m, δηλαδὴ μέσην κατάστασιν θαλάσσης, βάσει τῆς κλίμακος Douglas, γαλήνης ἢ φύτιδωμένης.

Οἱ ἵσχυροὶ καὶ ἄνω ἀμενοὶ (≥ 6 Beauf.) προκαλοῦν κυματισμὸν μέσου σημαντικοῦ ὄψους μεγαλυτέρου ἀπὸ 1 m, δηλαδὴ θάλασσαν τεταραγμένην καὶ ἄνω. Ἐκ τοῦ πίνακος 1 ὅμως προκύπτει ὅτι διὰ Βορείους ἵσχυροὺς ἀνέμους ἡ μέση θάλασσα εἶναι τεταραγμένη ($\bar{H}_{1/3} = 1,10$ m), ἐνῷ τῆς αὐτῆς ἐντάσεως ἀλλὰ ΝΔ ἀνεμοί καθιστοῦν τὴν θάλασσαν κυματώδη ($\bar{H}_{1/3} = 1,56$ m).

3. ΣΥΧΝΟΤΗΣ ΚΑΤΑΣΤΑΣΕΩΝ ΤΕΤΑΡΑΓΜΕΝΗΣ ΚΑΙ ΔΙΑΝ
ΚΥΜΑΤΩΔΟΥΣ ΘΑΛΑΣΣΗΣ

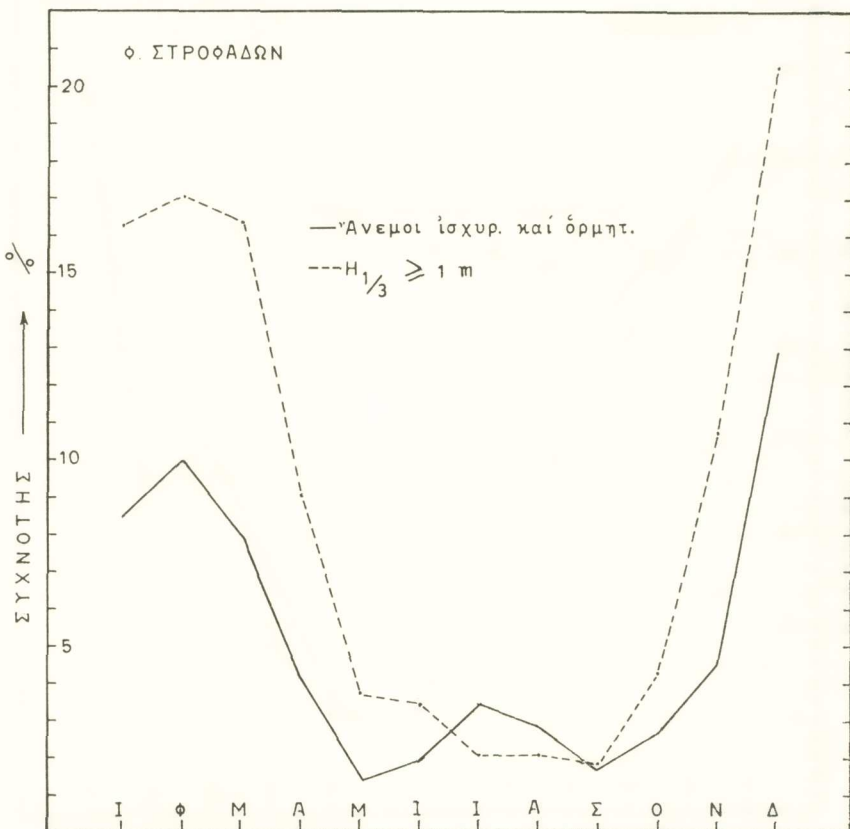
Ἡ ἐτησία πορεία τῶν ἐντάσεων τοῦ ἀνέμου εἰς τὴν ἔξεταζομένην περιοχὴν παρουσιάζεται συνήθως ἀπλῆ μὲ μέγιστον κατὰ τὸν χειμῶνα καὶ ἐλάχιστον κατὰ



Σχ. 2 Ἐτησία πορεία συχνότητος τεταραγμένης ἕως λίαν κινητώδους θαλάσσης (---), ώς καὶ τῶν ισχυρῶν καὶ ἄνω ἀνέμων (—) εἰς τὸν Φάρον τῶν Ὀθωνῶν.

τὸ θέρος, ἡ τὸν πρῶτον μῆνα τοῦ φθινοπώδου [3]. Τὴν αὐτὴν ἐτησίαν πορείαν ἀκολουθοῦν καὶ αἱ συχνότητες τῶν ισχυρῶν καὶ ἄνω ἀνέμων (≥ 6 Beauf.), ὡς προκύπτει τόσον ἐκ τῶν σχημάτων 2, 3 καὶ 4 ὅσον καὶ ἐκ τῶν πινάκων I, II καὶ III Διπλῆ παρουσιάζεται ἡ ἐτησία πορεία εἰς τὸν Σταθμὸν Ὀθωνῶν, Σκινα-

ρίουν, Στροφάδων και Οίνουσῶν, ἀλλὰ ἡ δευτερεύουσα κύμανσις τοῦ θέρους εἶναι μικρά, τῶν μεγίστων τιμῶν παρατηρουμένων και εἰς τοὺς Σταθμοὺς τούτους, κατὰ Δεκέμβριον κυρίως.

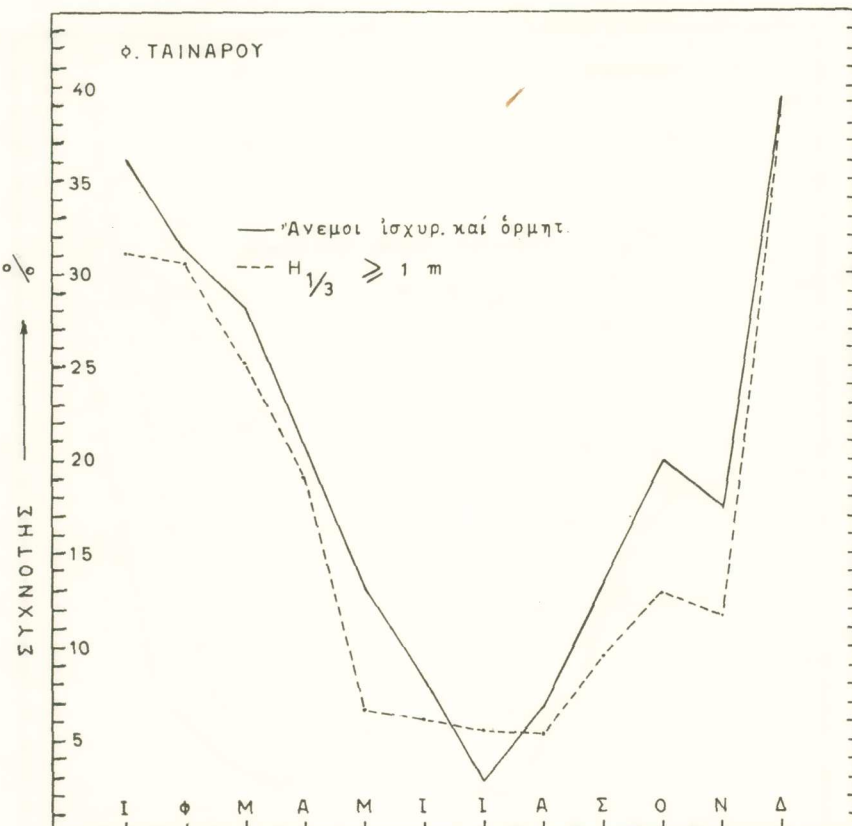


Σχ. 3. Έτησία πορεία συχνότητος τεταραγμένης ἔως λίαν κυματώδους θαλάσσης (---), ώς και τῶν ισχυρῶν και ἄνω ἀνέμων (—), εἰς τὸν φάρον τῶν Στροφάδων.

Ἡ ἐτησία πορεία τῆς συχνότητος τεταραγμένης ἔως λίαν κυματώδους θαλάσσης εἶναι ἡ αὐτὴ μὲ τὴν τοιαύτην τῶν ≥ 6 Beauf. ἀνέμων. Κατὰ τὴν θερινὴν περίοδον ὅμιως, ἔνεκα τοῦ χαρακτηριστικοῦ γνωρίσματος τοῦ ζεύματος τῶν Ἐτησίων ἀνέμων νὰ καταπαύῃ κατὰ τὴν διάρκειαν τῆς νυκτός, παρατηρεῖται μικρά τις ἀνωμαλία (σχ. 2 - 4).

Ἐκ τοῦ σχήματος 2, ώς καὶ ἐκ τοῦ πίνακος I προκύπτει ὅτι ἡ συχνότης τεταραγμένης ἔως λίαν κυματώδους θαλάσσης εἶναι μεγαλυτέρα τῆς συχνότητος

τῶν ἵσχυρῶν καὶ ὁμητικῶν ἀνέμων, ιδίως κατὰ τοὺς μῆνας Ἰανουάριον, Φεβρουάριον καὶ Μάρτιον, ὅτε ἡ διαφορὰ τῶν συχνοτήτων γίνεται μεγίστη. Τὸ αὐτὸ παρατηρεῖται καὶ εἰς τὸν ἄλλον φάρον, τόσον τοῦ Βορείου, ὃσον καὶ τοῦ Κεν-



Σχ. 4. Έτησία πορεία συχνότητος τεταραγμένης ἐώς λίαν κυματώδους θαλάσσης (---), ὡς καὶ τῶν ἵσχυρῶν καὶ ἄνω ἀνέμων (-), εἰς τὸν φάρον τοῦ Ταινάρου.

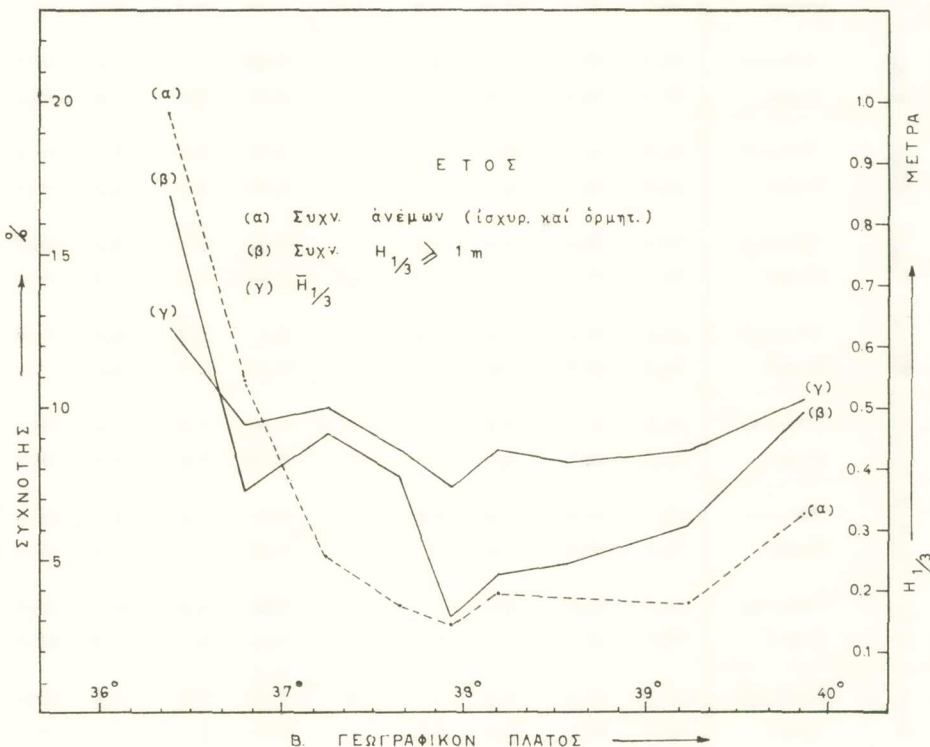
τρικοῦ Ἰονίου (πίν. II, III), πλὴν τῶν φάρων τοῦ Νοτίου Ἰονίου, Ταινάρου καὶ Οίνουσῶν.

Εἰς τὴν περιοχὴν τοῦ φάρου τῶν Οίνουσῶν, ὁ κυματισμὸς εἶναι πολὺ μικρότερος τοῦ ἀναμενομένου λόγῳ τῆς θέσεως τοῦ φάρου ἐν σχέσει πρὸς τὴν βραχονησίδα Ἀγία Μαριανὴ καὶ τὴν νησῖδα Σχίζα.

Εἰς τὸ Κεντρικὸν Ἰόνιον (πίν. II), καὶ δὴ εἰς τὴν περιοχὴν τοῦ φάρου Δουκάτου τῆς Λευκάδος, ἡ θαλασσοταραχὴ εἶναι μεγάλη, ὁ κυματισμὸς μεγάλος καὶ δυσανάλογος πρὸς τὴν ἔντασιν τοῦ ἀνέμου. Τοῦτο ὀφείλεται εἰς τὴν ἀποθαλα-

σίαν, ήτις φθάνει ἐκ Δ καὶ ΝΔ διευθύνσεων, δσάκις διέρχονται τὸ Κεντρικὸν Ἰόνιον, βαθεῖαι ὑφέσεις, δημιουργοῦσαι δρμητικοὺς καὶ θυελλώδεις ἀνέμους τοῦ νοτίου τομέως. Πρόγαματι ἡ συχνότης ἐμφανίσεως κυμάτων ὕψους $H_{1/3} \geq 2$ πο κατὰ τὸν Ἰανουάριον καὶ Δεκέμβριον εἶναι μεγαλυτέρα ἐκ τῆς τοιαύτης τῶν ἀλλων φάρων τοῦ Κεντρικοῦ Ἰονίου.

Ἡ καταφυγὴ τῶν πλοίων παρὰ τὸ νοτιώτερον τμῆμα τοῦ Ἰονίου πελάγους



Σχ. 5. Μεταβολαὶ μετὰ τοῦ πλάτους τῆς συχνότητος ($H_{1/3} \geq 1$ m), τοῦ μέσου ὕψους ($\bar{H}_{1/3}$) καὶ τῆς συχνότητος τῶν ισχυρῶν καὶ δρμητικῶν ἀνέμων.

καθίσταται πολλάκις ἐπιβεβλημένη, κατὰ τὴν χειμερινὴν περίοδον ἴδιαιτέρως. Ἐξαιρέσει ὅμως τοῦ Κυπαρισσιακοῦ κόλπου, ἡ καταφυγὴ εἶναι εὔκολος παρὰ τὸ βορειότερον καὶ τὸ νοτιώτερον τμῆμα τῶν δυτικῶν ἀκτῶν τῆς Πελοποννήσου.

Οἱ θυελλώδεις ἀνέμοι εἰς τὴν πλειονότητα τῶν περιπτώσεων εἶναι τοῦ θεομοῦ τομέως τῶν διερχομένων τὸ Ἰόνιον βαθέων ὑφέσεων. Ἀναλόγως δὲ τῆς τροχιᾶς αὐτῶν, προκαλοῦν ἐνίστε θυελλώδεις ἀνέμους τοῦ νοτίου τομέως εἰς τὸ Νότιον Ἰόνιον καὶ μετρίους εἰς τὸ Βόρειον [3].

ΠΙΝΑΞ Ι Βόρειον Ιόνιον Πέλαγος.

Π Ι Ν Α Ε II
Κ ε ν τ ρ ι κ δ η ν Ι θ ν ι ο ν Π έ λ α γ ο σ .

	Φ α ρ ο ι							Ανεμος		
		0 - 0,3 m %/ ₀	0,3 - 1 m %/ ₀	1 - 2 m %/ ₀	2 - 3 m %/ ₀	H _{1/s} ≥ 3 m %/ ₀	—	—	Mέγιστον H _{1/s} m	≥ 6 B %/ ₀
Τανούριος	Δουκάτον	45,8	44,0	7,9	2,3	—	0,51	2,5	9,9	43,6
	Γερογόμπον	37,6	52,0	8,9	1,5	—	0,55	2,5	6,9	42,3
	Σκινάρι	50,1	44,0	4,2	1,2	0,5	0,46	3,0	7,7	41,6
	Κερί	26,2	54,3	18,5	1,0	—	0,67	2,5	8,7	51,4
Φεβρουάριος	Δουκάτον	48,1	45,5	6,2	0,3	—	0,46	2,0	5,1	47,7
	Γερογόμπον	38,3	56,4	5,3	0,1	—	0,50	2,0	5,3	37,9
	Σκινάρι	56,8	38,6	4,3	0,3	—	0,40	2,3	3,5	46,9
	Κερί	29,6	54,2	15,4	0,7	—	0,63	2,0	8,3	47,1
Μάρτιος	Δουκάτον	49,8	46,5	3,7	—	—	0,42	1,7	3,5	48,3
	Γερογόμπον	36,3	57,2	5,6	0,7	0,1	0,51	3,4	5,4	37,3
	Σκινάρι	54,0	38,8	6,5	0,7	—	0,43	2,5	5,5	45,3
	Κερί	37,8	52,2	9,8	0,2	—	0,53	2,0	3,8	55,3
Απρίλιος	Δουκάτον	59,0	36,2	4,8	—	—	0,39	1,8	2,5	61,9
	Γερογόμπον	46,8	49,0	4,0	0,3	—	0,45	2,2	3,8	45,1
	Σκινάρι	62,0	35,7	2,2	0,1	—	0,36	2,0	2,7	49,4
	Κερί	42,1	51,8	6,1	—	—	0,48	1,8	2,0	58,4
Μάϊος	Δουκάτον	62,1	35,9	2,0	—	—	0,34	1,8	1,0	65,1
	Γερογόμπον	62,5	36,2	1,3	—	—	0,34	1,2	2,2	55,9
	Σκινάρι	67,7	32,2	0,1	—	—	0,31	1,0	1,0	60,8
	Κερί	56,3	40,4	3,4	—	—	0,39	2,0	1,2	73,5
Ιούνιος	Δουκάτον	66,3	33,4	0,3	—	—	0,33	1,0	0,7	70,9
	Γερογόμπον	66,2	32,8	1,0	—	—	0,33	1,3	2,6	58,1
	Σκινάρι	71,4	27,5	1,1	—	—	0,31	1,0	0,5	58,0
	Κερί	58,7	38,5	2,8	—	—	0,38	1,2	0,2	77,1
Ιούλιος	Δουκάτον	64,8	33,1	2,2	—	—	0,34	1,3	0,9	71,3
	Γερογόμπον	62,1	36,2	1,7	—	—	0,35	1,4	2,2	56,0
	Σκινάρι	67,9	31,1	1,0	—	—	0,31	1,5	0,8	54,4
	Κερί	56,3	41,1	2,6	—	—	0,37	1,5	0,4	78,7

(Συνέχεια του πίνακος ΙΙ)

Φάσοι	Ανθρώπινος	0 - 0,3 m %		0,3 - 1 m %		1 - 2 m %		2 - 3 m %		H _{1/3} ≥ 3 m		H _{1/3} m	Μέγιστον H _{1/3} m	Ανεμος				
		≥ 6 B %	0 - 2 B %	≥ 6 B %	0 - 2 B %	≥ 6 B %	0 - 2 B %	≥ 6 B %	0 - 2 B %	≥ 6 B %	0 - 2 B %			≥ 6 B %	0 - 2 B %			
Δουκάτον	Δουκάτον	64,7	34,0	1,2	—	—	—	0,34	1,3	0,3	74,7							
	Γερογόμπον	66,4	31,8	1,8	—	—	—	0,34	1,5	2,9	57,6							
	Σκινάρι	74,7	24,8	0,5	—	—	—	0,28	1,0	0,1	57,5							
	Κερι	65,2	32,0	2,8	—	—	—	0,35	1,2	0,7	82,4							
Σεπτέμβριος	Δουκάτον	68,0	28,8	3,0	0,3	—	—	0,35	2,9	0,9	74,0							
	Γερογόμπον	64,9	33,3	1,7	—	—	—	0,38	1,5	2,1	58,5							
	Σκινάρι	70,7	28,9	0,4	—	—	—	0,31	1,0	0,9	58,1							
	Κερι	61,7	36,9	1,4	—	—	—	0,36	1,5	0,9	75,9							
'Οκτώβριος	Δουκάτον	66,1	31,7	2,2	—	—	—	0,35	1,5	2,4	67,6							
	Γερογόμπον	60,3	37,6	2,0	—	—	—	0,38	1,9	2,3	55,2							
	Σκινάρι	66,8	29,6	2,2	1,2	0,3	—	0,37	2,8	4,0	58,7							
	Κερι	50,9	44,1	5,0	—	—	—	0,45	1,4	1,7	69,2							
Νοέμβριος	Δουκάτον	54,1	35,9	9,4	0,6	—	—	0,51	2,0	8,8	46,0							
	Γερογόμπον	55,7	37,8	6,4	0,1	—	—	0,47	2,4	3,8	51,4							
	Σκινάρι	71,2	26,7	1,5	0,4	0,1	0,36	3,0	3,2	54,9								
	Κερι	50,1	41,8	8,1	—	—	—	0,51	1,5	4,4	59,9							
Δεκέμβριος	Δουκάτον	40,7	46,0	11,6	1,7	—	—	0,57	2,5	9,2	43,9							
	Γερογόμπον	30,3	57,8	10,3	1,3	0,2	—	0,61	3,5	7,8	35,1							
	Σκινάρι	48,6	42,0	7,9	1,2	0,3	—	0,50	3,2	5,5	44,2							
	Κερι	24,2	59,2	16,1	0,5	—	—	0,66	2,5	10,5	39,6							
Ετοις	Δουκάτον	57,3	37,8	4,5	0,4	—	—	0,41	2,9	3,8	59,3							
	Γερογόμπον	52,3	43,2	4,2	0,3	—	—	0,43	3,5	3,9	49,3							
	Σκινάρι	63,4	33,5	2,6	0,4	0,1	0,37	3,2	3,0	52,5								
	Κερι	46,8	45,2	7,6	0,2	—	—	0,48	2,5	3,5	64,3							
Δουκάτον		$\varphi = 38^\circ 34'$ $\lambda = 20^\circ 33'$		Σκινάρι		$\varphi = 37^\circ 56'$ $\lambda = 20^\circ 43'$		Κερι		$\varphi = 37^\circ 39'$ $\lambda = 20^\circ 49'$								
Γερογόμπον		$\varphi = 38^\circ 11'$ $\lambda = 20^\circ 20'$																

Ι Ι Ν Α Ε

Νότιον Ιόνιον Πέλαγος.

	Φάροι	Περιβολία						Ανεμος		
		0 - 0,3 m %	0,3 - 1 m %	1 - 2 m %	2 - 3 m %	H _{1/3} ≥ 3 m %	H _{1/3} m	Mέγιστον H _{1/3} m	≥ 6 B %	0 - 2 B %
'Ιανουάριος	Στροφάδες	38,0	45,8	15,7	0,6	—	0,63	2,2	8,5	33,5
	Οίνονσαι	46,3	41,1	10,6	1,0	1,0	0,58	2,2	15,0	25,6
	Ταίναρον	23,7	45,3	22,6	7,3	1,2	0,90	3,5	37,1	19,6
Φεβρουάριος	Στροφάδες	40,4	42,6	14,0	1,3	1,7	0,66	3,4	10,0	35,8
	Οίνονσαι	37,1	49,3	13,3	0,1	0,3	0,61	2,5	15,4	20,6
	Ταίναρον	30,3	39,1	23,3	5,9	1,5	0,86	3,5	31,4	25,7
Μάρτιος	Στροφάδες	36,9	46,9	15,9	0,5	—	0,63	2,0	7,9	36,7
	Οίνονσαι	48,6	39,2	12,2	0,1	—	0,54	2,1	12,4	25,6
	Ταίναρον	34,1	40,7	18,2	6,3	0,7	0,79	3,1	28,1	28,3
'Απρίλιος	Στροφάδες	52,3	38,7	9,0	—	—	0,50	1,8	4,1	46,9
	Οίνονσαι	51,6	41,8	6,5	0,2	—	0,49	2,0	14,6	30,1
	Ταίναρον	43,2	37,5	14,2	4,6	0,6	0,68	3,2	20,7	32,8
Μάϊος	Στροφάδες	62,7	33,6	3,8	—	—	0,42	1,5	1,4	58,4
	Οίνονσαι	63,8	32,0	4,2	—	—	0,42	1,8	7,6	33,8
	Ταίναρον	62,0	31,4	6,6	—	—	0,45	1,7	13,0	52,8
'Ιούνιος	Στροφάδες	62,7	33,8	3,5	—	—	0,41	1,3	1,9	57,3
	Οίνονσαι	65,9	33,5	0,6	—	—	0,38	1,0	9,1	30,7
	Ταίναρον	56,0	37,7	6,2	0,1	—	0,47	2,0	8,0	43,7
'Ιούλιος	Στροφάδες	60,9	37,1	2,0	—	—	0,40	1,7	3,4	56,6
	Οίνονσαι	62,4	35,6	2,0	—	—	0,41	1,2	10,9	23,1
	Ταίναρον	69,9	24,5	5,7	—	—	0,36	1,8	2,8	59,4

(Συνέχεια τοῦ πίνακος III)

Φάροι		Ανθρωπος	Σεπτέμβριος	Σεπτέμβριος	0 - 0,3 m %		0,3 - 1 m %		1 - 2 m %		2 - 3 m %		H _{1/3} ≥ 3 m %		Mέγιστον H _{1/3} m		Άνεμος	
Ε τ ο ζ	Δεκέμβριος				Noέμβριος	*Οκτώβριος	Σεπτέμβριος	Σεπτέμβριος	Σεπτέμβριος	Σεπτέμβριος	Σεπτέμβριος	Σεπτέμβριος	Σεπτέμβριος	Σεπτέμβριος	Σεπτέμβριος	Σεπτέμβριος	Σεπτέμβριος	Σεπτέμβριος
Στροφάδες	66,3	31,6	2,2	—	—	—	0,38	1,5	2,8	58,6								
Οίνουσαι	71,3	27,3	1,4	—	—	—	0,35	1,2	11,8	32,0								
Ταίναρον	65,6	28,9	5,5	—	—	—	0,41	1,8	6,9	54,3								
Στροφάδες	71,4	26,8	1,8	—	—	—	0,36	1,5	1,7	64,3								
Οίνουσαι	74,4	23,2	2,5	—	—	—	0,35	1,8	5,2	42,8								
Ταίναρον	60,1	30,3	9,6	—	—	—	0,47	1,5	13,6	47,7								
Στροφάδες	65,9	29,8	4,3	—	—	—	0,40	1,8	2,6	60,8								
Οίνουσαι	65,1	29,5	5,4	—	—	—	0,41	1,8	4,4	39,6								
Ταίναρον	43,8	43,3	10,3	2,6	—	—	0,60	2,9	20,0	28,4								
Στροφάδες	45,9	43,5	10,1	0,4	—	—	0,54	2,5	4,6	45,2								
Οίνουσαι	46,7	40,9	12,5	—	—	—	0,55	1,7	9,6	34,8								
Ταίναρον	45,9	42,2	11,5	0,1	0,3	0,55	3,0	16,3	32,1									
Στροφάδες	37,3	42,1	18,4	2,2	—	—	0,70	2,8	12,9	29,3								
Οίνουσαι	45,1	40,3	13,6	1,0	—	—	0,60	2,5	14,2	24,7								
Ταίναρον	25,0	35,9	25,3	11,4	2,4	—	1,00	3,5	39,1	20,3								
Στροφάδες	53,7	37,2	8,6	0,4	0,1	0,50	3,4	5,1	48,8									
Οίνουσαι	56,5	36,2	7,1	0,2	0,1	0,47	2,5	10,9	30,3									
Ταίναρον	46,6	36,4	13,3	3,2	0,5	0,63	3,5	19,6	37,2									

$$\Sigma \text{τροφάδες} \left\{ \begin{array}{l} \varphi = 37^\circ 15' \\ \lambda = 21^\circ 00' \end{array} \right.$$

$$\Omega \text{νούσαι} \left\{ \begin{array}{l} \varphi = 36^\circ 48' \\ \lambda = 21^\circ 43' \end{array} \right.$$

$$\text{Ταίναρον} \left\{ \begin{array}{l} \varphi = 36^\circ 23' \\ \lambda = 22^\circ 29' \end{array} \right.$$

Κατὰ τὴν θύελλαν, ἡ ὁποία ἐνέσκυψεν εἰς τὸ Ἱόνιον μεταξὺ 12ης καὶ 13ης Ιανουαρίου τοῦ 1968, ἥτις ὀφείλετο εἰς τὴν διέλευσιν βαθείας ὑφέσεως (980 μβ), οἵ Σταθμοὶ τῶν φάρων κατέγραψαν ὥψη κυμάτων ὡς κάτωθι :

Ταίναρον 3,5 μ, Στροφάδες 2,1 μ, Δουκάτον 2,5 μ αλπ. Ὁ παρατηρητής τοῦ φάρου τῶν Παξών κατέγραψε τὸ ὑπερβολικὸν κατὰ τὴν ἡμετέραν γνώμην ὥψης τῶν 6 μέτρων.

Τοπικοὶ ἔξ ἄλλου ἀνεμοί, ὡς εἶναι ὁ ὅρμητικὸς «Καρτελᾶς» τῆς Κυπαρισσίας, παρουσιάζεται πολλάκις θύελλώδης καὶ ἐγείρει εἰς τὴν περιοχὴν θαλασσοταραχὴν μεγάλην, ὡς συνέβη τὴν 24. 1. 1910, ὅτε ἐκ τῆς τρικυμίας κατεστράφη ὁ λιμενοβραχίων [3].

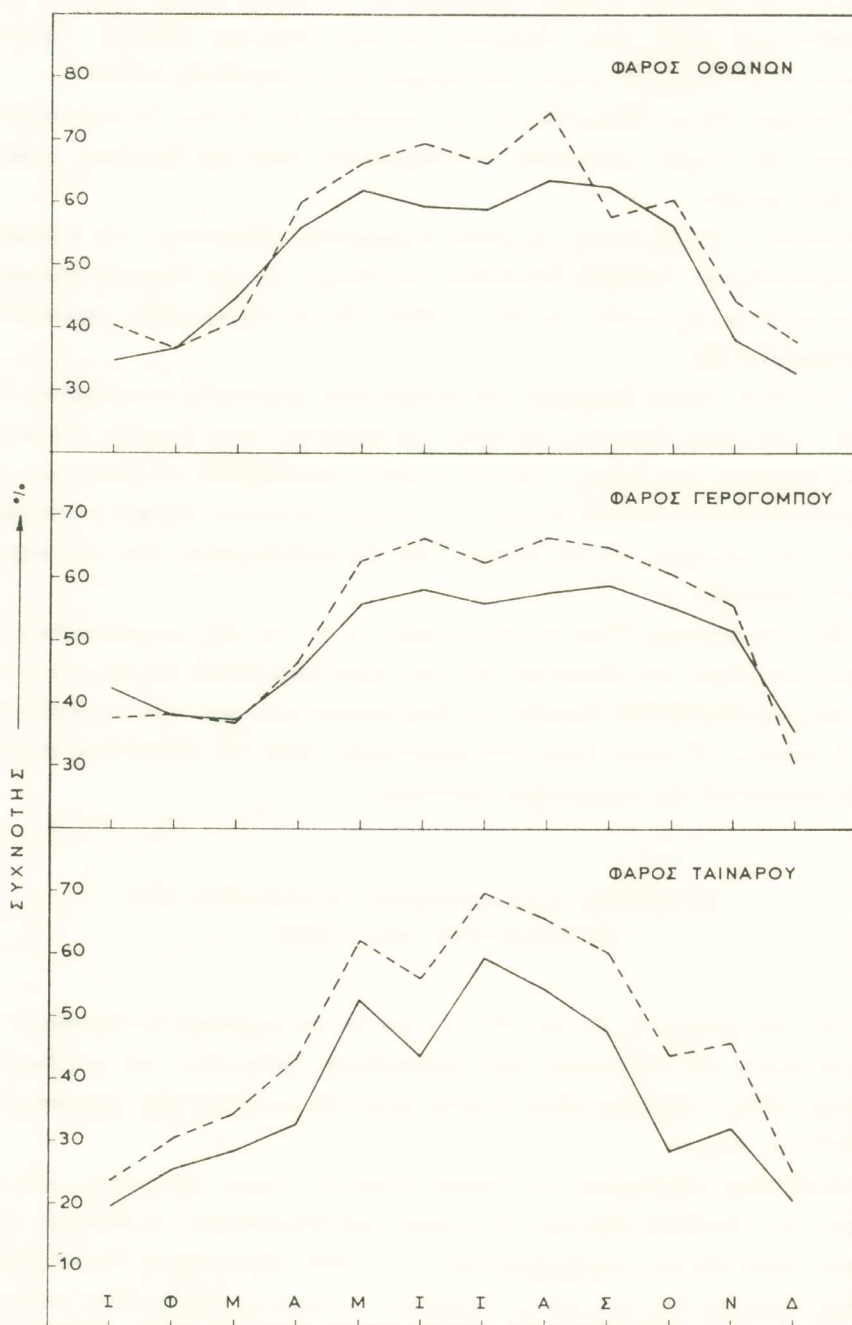
Τὸ Νότιον Ἱόνιον ἐμφανίζει τὴν μεγαλυτέραν συχνότητα τεταραγμένης ἔως καὶ λίαν κυματώδους θαλάσσης καὶ τοῦτο ἥτο ἐπόμενον, λόγῳ ἀκριβῶς τῶν μεγαλυτέρων ἐντάσεων τοῦ ἀνέμου. Ἀν καὶ σπανίως προσβάλλουν τὸ ἐσωτερικὸν τοῦ Μεσσηνιακοῦ κόλπου σφοδροὶ ἀνεμοί, ἐν τούτοις μεταφέρουν ἵσχυρὸν κυματισμὸν εἰς αὐτόν, ὡς προκύπτει ἐκ τῆς θεωρίας καὶ ὡς ἐπιβεβαιοῦται ἀπὸ τὰς μαρτυρίας τῶν ναυτικῶν.

Ἐκ τοῦ σχήματος 5 καὶ ἐκ τῶν πινάκων I, II καὶ III, παρατηροῦμεν ὅτι ἔξαιρέσει τοῦ φάρου τῶν Οίνουσῶν, διὰ τοὺς προαναφερθέντας λόγους, τὴν μεταβολὴν τῆς συχνότητος τῶν ἵσχυρῶν καὶ ἀνω ἀνέμων μετὰ τοῦ πλάτους ἀκολουθεῖ τόσον ἡ τοιαύτη τοῦ μέσου ὥψης τοῦ κυματισμοῦ, ὅσον καὶ ἡ συχνότης ἐμφανίσεως τεταραγμένης ἔως κυματώδους θαλάσσης.

4. ΣΥΧΝΟΤΗΣ ΚΑΤΑΣΤΑΣΕΩΝ ΓΑΛΗΝΙΑΙΑΣ ΚΑΙ ΡΥΤΙΔΩΜΕΝΗΣ ΘΑΛΑΣΣΗΣ

Ἐκ τῶν πινάκων I, II καὶ III, ὡς καὶ ἐκ τοῦ σχήματος 6, προκύπτει ὅτι ἡ ἐτησία πορεία τῆς συχνότητος τῶν καταστάσεων γαληνιαίας καὶ ρυτιδωμένης θαλάσσης ($H_{1/3} < 0,30$ μ) εἶναι ἡ αὐτὴ μετὰ τῆς τοιαύτης τῶν νηνεμιῶν καὶ τῶν ἀσθενῶν ἀνέμων.

Καθ' ὅλην τὴν ἔκτασιν τοῦ Ἱονίου πελάγους, κατὰ τοὺς μῆνας, ἀπὸ τοῦ δευτέρου τῆς Ἀνοίξεως ἔως καὶ τοῦ πρώτου τοῦ Φθινοπώρου, ἡ θάλασσα εἶναι συνήθως γαληνιαία ἔως ρυτιδωμένη (πίν. I, II, III). Οὔτως εἰς τὸ Νότιον Ἱόνιον ἀπὸ τοῦ Ἀπριλίου ἔως καὶ τοῦ Σεπτεμβρίου, ἡ συχνότης τῆς ἐν λόγῳ καταστάσεως τῆς θαλάσσης κυμαίνεται ἀπὸ 43,2 % (Ταίναρον) ἔως 74,4 % (Οίνουσαι). Εἰς τὸ Κεντρικὸν Ἱόνιον κατὰ τοὺς αὐτοὺς μῆνας, ἡ ἀνω συχνότης κυμαίνεται



Σχ. 6. Έτησία πορεία τής συχνότητος γαληνιαίας και ρυθμωμένης θαλάσσης (---), ώς και τής συχνότητος των νηνεμιῶν και άσθενῶν άνεμων (- - -).